

УДК 621.73

Скрябин С.А.¹, Швец Л.В.²

¹ НПЦ "Ухналь". Украина, Киев.

² Винницкий Государственный аграрный университет. Украина, Винница

ИССЛЕДОВАНИЕ ТЕЧЕНИЯ МЕТАЛЛА ПРИ ВАЛЬЦОВКЕ ЗАГОТОВОК В ОЧАГЕ ДЕФОРМАЦИИ, С УЧЕТОМ РАЗВИТИЯ ДЕФОРМАЦИИ ВО ВРЕМЕНИ

Анотація

У статті описаний метод дослідження течії металу у осередку деформації при вальцовуванні заготовель об'ємним деформуванням, з урахуванням розвитку деформації в часі.

Abstract

Method of metal flow research up in deformation zone when rolling the storage for the three-dimensional warping, with accounting for deformation developments for a length of time, is described in article.

При разработке технологических процессов обработки металлов давлением возникают вопросы по определению усилий, затрат энергии, выбору оптимальных технологических параметров деформации, определению неравномерности деформации и др. Особое место в теории прокатки занимают вопросы перемещения металла в очаге деформации. Развитие вальцовки требует раскрытия закономерностей и физической сущности явлений, протекающих при деформировании металла в очаге деформации.

Работа выполнялась в соответствии с "Державною комплексною програмою розвитку

авіаційної промисловості України до 2010 року". Затверджена постановою Кабінету Міністрів України від 12.12.2001 р., № 1665-25, п. 6.1.3. "Нові технології та матеріали, стандартизація, системи якості, нормативне забезпечення, виробництво та ремонту авіаційної техніки".

Актуальність розробки та внедрення мало-отходних технологіческих процесов штамповки поковок из алюминиевых сплавов на предприятиях авиационной промышленности, обусловлена значительным применением в изделиях отрасли этих сплавов и задачами по совершенствованию металлообесцегающих технологий.

Данная работа является продолжением исследований описанных в опубликованных источниках [1–4]. За основу при теоретическом исследовании процесса течения металла при объемном деформировании заготовок в калибрах, был взят метод описанный в этих работах. Задача по исследованию течения металла в очаге деформации решается поэтапно: упругая задача как первое приближение к упруго-пластической, упруго-пластическая задача для малых пластических деформаций. Характер течения металла в калибрах описан с помощью метода конечных разностей и переменного параметра.

В качестве примера характеризующего течения металла в очаге деформации при вальцовке заготовок в очаге деформации, с учетом развития деформации во времени, рассмотрим вальцовку заготовок с размерами $\varnothing 25 \times 150$ мм из алюминиевого сплава АК6 в овальном калибре, имеющего размеры: высота 13 мм, ширина 29 мм, радиус калибра 20,5 мм, рабочий радиус валков 66,5 мм, зазор между валками 1,0 мм. Температура вальцовки 450°C. Скорость вращения валков 0,2 м/с.

Угол контакта вальцовкой заготовки с инструментом определялся по формуле

$$\alpha = \arccos \left(1 - \frac{2R_3 - \Delta h}{2R_p} \right) = \arccos (0,9022) = 0,4458, \quad (1)$$

где R_3 – радиус заготовки, мм; R_p – рабочий радиус валков, мм; h – абсолютное обжатие, мм.

Временные промежутки деформирования заготовки определялись по формуле (2), табл. 1

$$t = 10^{-3} \left(\frac{R_p \cdot \alpha}{v_e} \right) = 10^{-3} \left(\frac{66,5 \cdot 0,4458}{0,2} \right) = 0,145, \quad (2)$$

где v_e – скорость вращения валков, м/с.

Таблица 1
Временные промежутки деформирования заготовки

| α_i | 5° | 10° | 15° | 20° | 25° |
|------------|-------|-------|-------|--------|--------|
| t_p , с | 0,029 | 0,058 | 0,087 | 0,1160 | 0,1450 |

Аналогично находятся и другие промежутки деформаций во времени.

Значения угла контакта в поперечном сечении очага деформации определялись по формуле (3), табл. 2

$$\varphi_i = \frac{v_e \cdot t_i \left(1 - \frac{\Delta h}{2R_k} \right)}{R_p \cdot \alpha}, \quad (3)$$

где R_k – радиус калибра, мм.

Таблица 2
Значения угла контакта в поперечном сечении очага деформации

| t_i , с | 0,029 | 0,058 | 0,087 | 0,1160 | 0,1450 |
|-------------|--------|--------|--------|--------|--------|
| φ_i | 0,1312 | 0,2624 | 0,3936 | 0,5248 | 0,6561 |

Длины дуг поперечного сечения зоны контакта для каждого значения текущего угла φ_i определялись по формуле (4), табл. 3

$$l_{\varphi i} = R_p \varphi_i \quad (4)$$

Таблица 3
Длины дуг поперечного сечения зоны контакта для каждого значения текущего угла φ

| φ_i | 0,1312 | 0,2624 | 0,3936 | 0,5248 | 0,6381 |
|-----------------|--------|--------|--------|--------|--------|
| R_k | 20,5 | 20,5 | 20,5 | 20,5 | 20,5 |
| $l_{\varphi i}$ | 2,689 | 5,379 | 8,068 | 10,758 | 13,450 |

Коэффициенты деформаций вдоль дуги контакта определяются по формулам (5), табл. 4

$$K_x = \frac{b_{ob}^{(i)}}{2R_3}; K_y = \frac{h_{ob}^{(i)}}{2R_3} \quad (5)$$

Таблица 4
Коэффициенты деформаций вдоль дуги контакта

| t_i, c | 0,29 | 0,085 | 0,087 | 0,1160 | 0,1450 |
|-------------|-------|--------|--------|--------|--------|
| $K_x^{(i)}$ | 1,048 | 1,092 | 1,140 | 1,188 | 1,240 |
| $K_y^{(i)}$ | 0,876 | 0,7352 | 0,6320 | 0,5640 | 0,5400 |

Изменение ширины овального калибра в зависимости от времени деформирования определялось по формуле (6), табл. 5

$$b_3 = \frac{(b_{ob} + 2R_k)}{\alpha \cdot R_p} \cdot v_e \cdot t_i + 2R_3, \quad (6)$$

где b_3 – ширина овального калибра, мм; t_i – время деформирования, с.

Таблица 5
Ширина овального калибра в зависимости от времени деформирования

| t_i, c | 0,029 | 0,058 | 0,087 | 0,1160 | 0,145 |
|----------------|-------|-------|-------|--------|-------|
| $B_{ob}^{(i)}$ | 26,2 | 27,3 | 28,4 | 29,7 | 31,0 |

Площадь контакта в каждый промежуток времени деформирования определяется по формуле (7), табл. 6.

$$F_k^{(i)} = R_k \frac{v_e \cdot t_i}{R_p} [(R_p + R_k) \frac{\varphi v_e \cdot t_i}{2R_p \cdot \alpha} - R_k \sin(\frac{\varphi v_e \cdot t_i}{2R_p \cdot \alpha})] \quad (7)$$

Таблица 6

Площадь контакта в каждый промежуток времени деформирования

| | | | | | |
|-------------------------------|-------|-------|-------|-------|-------|
| t _{i,c} | 0,029 | 0,058 | 0,087 | 0,116 | 0,145 |
| F _k ⁽ⁱ⁾ | 16,7 | 66,9 | 157,8 | 268,9 | 431,5 |

Шаг в направлении координатных осей определяется по формулам в:
направлении оси ОХ (8), табл. 7

$$h_{\alpha_1}^{(i,j)} = R_3 K_x^{(i)} (\sin \beta_{i+1,j} - \sin \beta_{i,j+1}); \quad (8)$$

направлении ОУ (9), мм

$$h_{\alpha_2}^{(i,j)} = R_3 K_y^{(i)} (\cos \beta_{i,j+1} - \cos \beta_{i+1,j}) \quad (9)$$

Границные условия на поверхности деформируемой заготовки вдоль дуги контакта определяются по формулам (10, 11), табл. 7

$$u_{i,j+1}^{(z)} = R_3 (1 - K_x^{(i)}) \sin \beta_{i,j+1}; \quad u_{i+1,j}^{(z)} = R_3 (1 - K_x^{(i)}) \sin \beta_{i+1,j} \quad (10)$$

Таблица 7

Шаг в направлениях координатных осей ОХ и ОУ

| t, c | t = 0,029 | | | | | |
|---------------------------------|-----------|--------|-------------|--------|--------|---------|
| i, j | (1;1) | (3;3) | (5;5) | (7;7) | (9;9) | (11;11) |
| h _{a1} ^(ij) | 3,3902 | 3,1597 | 2,7130 1 | 2,0815 | 1,3086 | 0,4467 |
| h _{a2} ^(ij) | 0,3733 | 1,0939 | 1,7399 | 2,2677 | 2,6411 | 2,8338 |
| t, c | t = 0,058 | | | | | |
| i, j | (1;1) | (3;3) | (5;5) | (7;7) | (9;9) | (11;11) |
| h _{a1} ^(ij) | 3,5326 | 3,2923 | 2,8268 | 2,1703 | 1,3635 | 0,4654 |
| h _{a2} ^(ij) | 0,3133 | 0,9180 | 1,4424 | 1,9032 | 2,2166 | 2,3783 |
| t, c | t = 0,087 | | | | | |
| i, j | (1;1) | (3;3) | (5;5) | (7;7) | (9;9) | (11;11) |
| h _{a1} ^(ij) | 3,6879 | 3,4371 | 2,9511 | 2,2657 | 1,4235 | 0,4858 |
| h _{a2} ^(ij) | 0,2693 | 0,7891 | 1,2399 | 1,6360 | 1,9054 | 2,044 |
| t, c | t = 0,116 | | | | | |
| i, j | (1;1) | (3;3) | (5;5) | (7;7) | (9;9) | (11;11) |
| h ₂₁ ^(ij) | 3,8431 | 3,5818 | 3,0753 | 2,3611 | 1,4854 | 0,5063 |
| h ₂₂ ^(ij) | 0,2403 | 0,7042 | 1,1202 | 1,4600 | 1,7004 | 1,8245 |
| t, c | t = 0,145 | | | | | |
| i, j | (1;1) | (3;3) | (5;5) | (7;7) | (9;9) | (11;11) |
| h ₂₁ ^(ij) | 4,014 | 3,7386 | 3,2099 | 2,4645 | 1,5483 | 0,5284 |
| h ₂₂ ^(ij) | 0,2301 | 0,6733 | 1,0725 | 1,3978 | 1,6281 | 1,7469 |

$$v_{i,j+1}^{(z)} = R_3 (1 - K_y^{(i)}) \cos \beta_{i,j+1}; \quad v_{i+1,j}^{(z)} = R_3 (1 - K_y^{(i)}) \cos \beta_{i+1,j} \quad (11)$$

Таблица 8

Значения граничных условий на поверхности деформируемой заготовки вдоль дуги контакта l_{φi}

| t _{i,c} | t ₁ = 0,029 | | | | | |
|---------------------------------|------------------------|---------|---------|---------|---------|---------|
| i, j | (1;1) | (3;3) | (5;5) | (7;7) | (9;9) | (11;11) |
| u _{i,j+1} | 0,0000 | -0,1552 | -0,3000 | -0,4242 | -0,5136 | -0,5754 |
| u _{i+1,j} | -0,1552 | -0,3000 | -1,4242 | -0,5196 | -0,5754 | -0,6000 |
| v _{i,j+1} [®] | 1,5500 | 1,4971 | 1,3423 | 1,0960 | 0,7750 | 0,4011 |
| v _{i+1,j} [®] | 1,4971 | 1,3423 | 1,0960 | 0,7750 | 0,4011 | 0,0000 |
| t _{i,c} | t ₂ = 0,058 | | | | | |
| i, j | (1;1) | (3;3) | (5;5) | (7;7) | (9;9) | (11;11) |
| u _{i,j+1} | 0,000 | -2976 | -05750 | -0,8131 | -0,9959 | -1,1107 |
| u _{i+1,j} | -0,2976 | -0,575 | -0,8131 | -0,9959 | -1,1107 | -1,150 |
| v _{i,j+1} [®] | 3,3100 | 3,1971 | 2,8664 | 2,3405 | 1,155 | 0,8566 |
| v _{i+1,j} [®] | 3,1971 | 2,8664 | 2,3405 | 1,155 | 0,8566 | 0,0000 |
| t _{i,c} | t ₃ = 0,087 | | | | | |
| i, j | (1;1) | (3;3) | (5;5) | (7;7) | (9;9) | (11;11) |
| u _{i,j+1} | 0,000 | -0,4528 | -0,8750 | -1,2374 | -1,5155 | -1,6903 |
| u _{i+1,j} | -0,4528 | -0,8750 | -1,2374 | -1,5155 | -1,6903 | -1,7500 |
| v _{i,j+1} [®] | 4,4431 | 3,9836 | 3,2526 | 2,3000 | 1,19048 | 0,0000 |
| v _{i,j+1} [®] | 4,6000 | 4,4431 | 3,9836 | 3,2526 | 2,300 | 1,19048 |
| t _{i,c} | t ₄ = 0,116 | | | | | |
| i, j | (1;1) | (3;3) | (5;5) | (7;7) | (9;9) | (11;11) |
| u _{i,j+1} | 0,000 | -0,6081 | -1,1750 | -1,6616 | -2,0351 | -2,2698 |
| u _{i+1,j} | -0,6081 | -1,175 | -1,6616 | -2,0351 | -2,2698 | -2,3500 |
| v _{i,j+1} [®] | 5,4500 | 5,2641 | 4,7197 | 3,8536 | 2,7260 | 1,4106 |
| v _{i+1,j} [®] | 5,2641 | 4,7197 | 3,8536 | 2,7260 | 1,4106 | 0,0000 |
| t _{i,c} | t ₅ = 0,145 | | | | | |
| i, j | (1;1) | (3;3) | (5;5) | (7;7) | (9;9) | (11;11) |
| u _{i,j+1} | 0,0000 | -0,7764 | -1,500 | -2,1213 | -2,5980 | -2,8977 |
| u _{i+1,j} | -0,7769 | -1,500 | -2,1213 | -2,598 | -2,8577 | -3,0000 |
| v _{i,j+1} [®] | 5,5539 | 4,9795 | 4,0658 | 2,8750 | 1,4881 | 0,0000 |
| v _{i,j+1} [®] | 5,7500 | 5,5539 | 4,9795 | 4,0658 | 2,8750 | 1,4881 |

Течение металла в очаге деформации при вальцовке заготовок объемным деформированием, с учетом скоростей перемещения узлов координатной сетки за определенный промежуток времени (рис. 1), сопоставимо с изменением "пластических волн" в очаге деформации во времени.

На рис. 1 представлен характер изменения "пластических волн" в очаге деформации при вальцовке заготовок в овальном калибре с размерами описанными выше (вид торца заготовки, первое приближение).

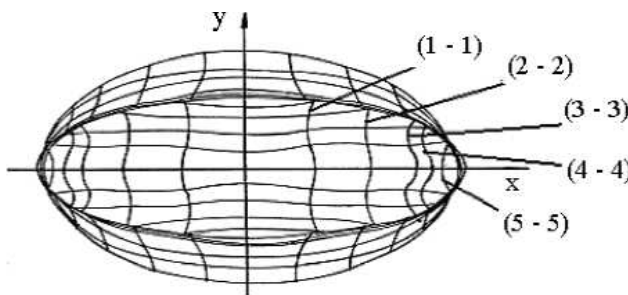


Рис. 1. Изменение "пластических волн" в очаге деформации с учетом развития деформации во времени:

(1 - 1) – 0,0145 с; (2 - 2) – 0, 0290 с;
 (3 - 3) – 0, 0435 с; (4 - 4) – 0, 0580 с;
 (5 - 5) – 0, 0725 с

На приведенном рисунке показан характер течения металла при вальцовке заготовок в очаге деформации в трехмерной постановке (объемное деформирование), выполненной по методу описанному в работах [2–4] и получившему дальнейшее развитие, заключающееся в учете развития деформации во времени.

Экспериментальная проверка достоверности результатов теоретических и экспериментальных исследований течения металла при вальцовке заготовок объемным деформированием в очаге деформации, с учетом развития деформации во времени подтвердила, что разработанный метод позволяет раскрыть картину перемещения металла как для установившегося (деформация при постоянном обжатии) так и неустановившегося (деформация с нарастающим или убывающим обжатием) процессов горячего деформирования, определить неравномерность деформации в зависимости от соотношения геометрических форм калибра и деформируемой заготовки, найти область возможной концентрации напряжений.

Максимальное расхождение теоретических и экспериментальных исследований при проверке предложенного метода составляет до 10% для третьего приближения, что подтверждает возможность применения этого метода для исследования течения металла в очаге деформации при вальцовке заготовок в калибрах произвольной формы, с учетом развития деформации во времени.

Выводы

1. В работе получили дальнейшее развитие теоретическое и экспериментальное исследования течения металла при вальцовке заготовок объемным деформированием в очаге деформации, с учетом развития деформации во времени.

2. Разработан метод исследования течения металла в очаге деформации при вальцовке заготовок объемным деформированием, с учетом развития деформации во времени. Максимальное расхождение теоретических и экспериментальных исследований при проверке предложенного метода составляет до 10% для третьего приближения, что подтверждает возможность применения этого метода для исследования течения металла в очаге деформации при вальцовке заготовок в калибрах произвольной формы, с учетом развития деформации во времени.

3. Экспериментальная проверка достоверности результатов теоретических и экспериментальных исследований течения металла при вальцовке (прокатке) заготовок при их объемном деформировании в очаге деформации, с учетом развития деформации во времени подтвердила, что разработанный метод позволяет раскрыть картину перемещения металла как для установившегося (деформация при постоянном обжатии) так и неустановившегося (деформация с нарастающим или убывающим обжатием) процессов горячего деформирования, определить неравномерность деформации в зависимости от соотношения геометрических форм калибра и деформируемой заготовки, найти область возможной концентрации напряжений.

Литература

1. Скрябин С.А. Исследование, разработка и внедрение процесса вальцовки заготовок из алюминиевых сплавов. – Дисс. канд. техн. наук: 05.16.05. – М., 1978. – 216 с.
2. Скрябин С.А., Скрябин К.С. Теоретическое решение объемной задачи по исследованию течения металла при деформации заготовок в калибрах // Вестник НТУУ "Киевский политехнический институт", 2003. – № 44. – С. 56–60.
3. Скрябин С.О., Скрябин К.С. Застосування методів скінченних різниць і змінного параметру для визначення плину металлу під час об'ємного деформування заготовок у калібрах. – Вінниця: Вісник Вінницького політехнічного інституту, 2004. – № 1. – С. 86–95.
4. Скрябин С.А., Швец Л.В., Чайка С.Д. Исследование течения металла в переходной и установившейся зонах при вальцовке заготовок в очаге деформации, с учетом развития деформации во времени // Технологические системы, 2006. – № 4. – С. 32–38.